

## ПЛОСКОЕ РАВНОВЕСИЕ ПЛАСТИЧЕСКОГО КЛИНА

В. В. Соколовский

(Москва)

Плоское равновесие тел формы клина под действием силы и пары сил, приложенных в вершине, или нагрузке, равномерно распределенной по его грани, при наличии степенного упрочнения материала может быть исследовано достаточно просто. Решение задачи о равновесии клина под действием силы имеет замкнутую форму; решение остальных задач приводит к интегрированию обыкновенных нелинейных дифференциальных уравнений.

Применение того же метода в случае пластичности без упрочнения материала дает возможность получить простое решение упруго-пластической задачи о равновесии полуплоскости.

**§ 1. Плоское равновесие клина.** Рассмотрим равновесие плоского клина с центральным углом  $2\gamma$ , принимая цилиндрическую систему координат  $r\theta z$ , начало которой совпадает с вершиной клина, и будем считать, что напряженное состояние не зависит от координаты  $z$ .

Компоненты напряжения  $\tau_{rz} = \tau_{\theta z} = 0$ , а остальные компоненты  $\sigma_r$ ,  $\sigma_\theta$ ,  $\sigma_z$ ,  $\tau_{r\theta}$  суть функции от  $r$  и  $\theta$ .

Дифференциальные уравнения равновесия в цилиндрических координатах применительно к этой задаче имеют вид:

$$r \frac{\partial \sigma_r}{\partial r} + \frac{\partial \tau_{r\theta}}{\partial \theta} + \sigma_r - \sigma_\theta = 0, \quad r \frac{\partial \tau_{r\theta}}{\partial r} + \frac{\partial \sigma_\theta}{\partial \theta} + 2\tau_{r\theta} = 0 \quad (1.1)$$

Зависимость между компонентами деформации и компонентами смещения

$$\begin{aligned} \varepsilon_r &= \frac{\partial u_r}{\partial r}, & \varepsilon_\theta &= \frac{1}{r} \left( \frac{\partial u_\theta}{\partial \theta} + u_r \right), & \varepsilon_z &= 0 \\ \gamma_{r\theta} &= \frac{\partial u_\theta}{\partial r} - \frac{u_\theta}{r} + \frac{1}{r} \frac{\partial u_r}{\partial \theta} \end{aligned} \quad (1.2)$$

дают дифференциальное уравнение совместности деформаций

$$r \frac{\partial}{\partial r} \left( r \frac{\partial \varepsilon_\theta}{\partial r} \right) + \frac{\partial^2 \varepsilon_r}{\partial \theta^2} + r \frac{\partial}{\partial r} (\varepsilon_\theta - \varepsilon_r) = \frac{\partial^2}{\partial r \partial \theta} (r \gamma_{r\theta}) \quad (1.3)$$

а также следующие равенства:

$$\sigma_z = \sigma = \frac{1}{2} (\sigma_r + \sigma_\theta), \quad \varepsilon_r + \varepsilon_\theta = 0 \quad (1.4)$$

Основные зависимости между компонентами напряжения и деформации, упрощенные допущением в несжимаемости материала, принимаются в обычной форме:

$$\begin{aligned} \varepsilon_r &= \frac{E}{2S} (\sigma_r - \sigma), & \varepsilon_\theta &= \frac{E}{2S} (\sigma_\theta - \sigma), & \varepsilon_z &= \frac{E}{2S} (\sigma_z - \sigma) \\ \gamma_{r\theta} &= \frac{E}{S} \tau_{r\theta}, & \gamma_{r_z} &= \gamma_{\theta_z} = 0 \end{aligned} \quad (1.5)$$

причем  $3\sigma = \sigma_r + \sigma_\theta + \sigma_z$ , а через  $S$  и  $E$  обозначены интенсивность касательных напряжений и интенсивность деформаций сдвига:

$$\begin{aligned} S &= \sqrt{\frac{1}{6} [(\sigma_\theta - \sigma_z)^2 + (\sigma_z - \sigma_r)^2 + (\sigma_r - \sigma_\theta)^2] + \tau_{r\theta}^2} \\ E &= \sqrt{\frac{2}{3} [(\varepsilon_\theta - \varepsilon_z)^2 + (\varepsilon_z - \varepsilon_r)^2 + (\varepsilon_r - \varepsilon_\theta)^2] + \gamma_{r\theta}^2} \end{aligned}$$

Условие пластичности с упрочнением материала берется в виде степенной зависимости между  $S$  и  $E$ , содержащей две постоянные  $K$  и  $\mu$ , а именно

$$S = KE^\mu \quad (1.6)$$

Компоненты напряжения могут быть выражены через три величины: среднее напряжение  $\sigma$ , интенсивность касательных напряжений  $S$  и новую величину  $\psi$ , следующим образом:

$$\left. \begin{aligned} \sigma_r \\ \sigma_\theta \end{aligned} \right\} = \sigma \pm S \cos \psi, \quad \tau_{r\theta} = S \sin \psi \quad (1.7)$$

а компоненты деформации — через интенсивность деформаций сдвига и ту же величину  $\psi$  в виде

$$\left. \begin{aligned} \varepsilon_r \\ \varepsilon_\theta \end{aligned} \right\} = \pm \frac{E}{2} \cos \psi, \quad \gamma_{r\theta} = E \sin \psi \quad (1.8)$$

Отметим попутно, что при наличии объемных сил, которые ранее не учитывались, уравнения равновесия напишутся следующим образом:

$$\begin{aligned} r \frac{\partial \sigma_r}{\partial r} + \frac{\partial \tau_{r\theta}}{\partial \theta} + \sigma_r - \sigma_\theta + r R_r &= 0 \\ r \frac{\partial \tau_{r\theta}}{\partial r} + \frac{\partial \sigma_\theta}{\partial \theta} + 2\tau_{r\theta} + r R_\theta &= 0 \end{aligned}$$

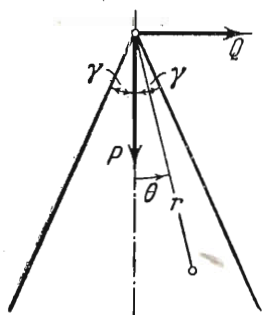
Если, однако, объемные силы имеют потенциал, т. е. могут быть представлены так:

$$R_r = \frac{\partial F}{\partial r}, \quad R_\theta = \frac{1}{r} \frac{\partial F}{\partial \theta}$$

то замена переменных

$$\sigma_r = \sigma_r' - F, \quad \sigma_\theta = \sigma_\theta' - F$$

сводит эти уравнения равновесия к прежнему виду, не изменяя остальных уравнений.



Фиг. 1

§ 2. Сжатие и изгиб клина под действием силы, приложенной к вершине<sup>1</sup>. Рассмотрим сначала изгиб и сжатие плоского клина под действием только одной силы, приложенной в вершине, считая, что компоненты её  $P$  и  $Q$  заданы (фиг. 1). Будем искать точное решение этой задачи, предполагая, что компоненты напряжения имеют вид:

$$\sigma_r = \sigma_r(r, \theta), \quad \sigma_\theta = \tau_{r\theta} = 0$$

Дифференциальное уравнение равновесия (1.1) принимает такой вид:

$$r \frac{\partial \sigma_r}{\partial r} + \sigma_r = 0, \quad \text{или} \quad \frac{\partial}{\partial r} (r \sigma_r) = 0$$

и показывает, что величина  $r \sigma_r$  есть функция только от одной независимой переменной  $\theta$ .

Интенсивность касательных напряжений  $S = \frac{1}{2} |\sigma_r|$  и компонента напряжения  $\sigma_r$  могут быть представлены как произведение некоторой функции от  $\theta$  на  $r^{-1}$  или

$$S = \alpha P \frac{t(\theta)}{r}, \quad \sigma_r = \kappa 2\alpha P \frac{t(\theta)}{r}, \quad \kappa = \pm 1 \quad (2.1)$$

а интенсивность деформации сдвига  $E = 2 |\varepsilon_r|$  и компоненты деформации  $\varepsilon_r$  из-за степенного условия пластичности с упрочнением так:

$$E = \left( \frac{\alpha P}{Kr} \right)^\mu g(\theta), \quad \varepsilon_r = -\varepsilon_\theta = \kappa \left( \frac{\alpha P}{Kr} \right)^\mu \frac{g(\theta)}{2} \quad (2.2)$$

причем  $t$  и  $g$  также связаны между собой степенной зависимостью  $t = g^{1/\mu}$ .

Произвольный параметр  $\alpha$  введен для удобства и позволяет без уменьшения общности наложить на функцию  $t$  дополнительное условие, приписав ей какое-нибудь значение при  $\theta = 0$ , например  $t(0) = 1$ ; в дальнейшем параметр  $\alpha$  будет выражен через угол  $\gamma$ .

Подставляя последние выражения в дифференциальное уравнение совместности деформаций (1.3), получим

$$\frac{d^2 g}{d\theta^2} + \frac{2\mu - 1}{\mu^2} g = 0 \quad (2.3)$$

Решение этого дифференциального уравнения содержит две произвольные постоянные  $C$  и  $\beta$  и имеет различные виды в зависимости от значения  $\mu$ ; для  $\mu = \frac{1}{2}$  величина  $g$  есть линейная функция

$$g = C(1 + \beta\theta)$$

а для  $\mu \neq \frac{1}{2}$  величина  $g$  выражается через тригонометрические и гиперболические функции

$$g = C \cos(m\theta + \beta) \quad (\mu > \frac{1}{2}), \quad g = C \operatorname{ch}(n\theta + \beta) \quad (\mu < \frac{1}{2})$$

причем  $m$  и  $n$  связаны с  $\mu$  так:

$$m^2 = \frac{2\mu - 1}{\mu^2}, \quad n^2 = \frac{1 - 2\mu}{\mu^2}$$

<sup>1</sup> Основные результаты этой задачи уже приведены в нашей заметке<sup>[1]</sup>.

Теперь найдем величину  $t = g^\mu$ , попутно определяя произвольную постоянную  $C$  из условия  $t(0) = 1$ .

Для  $\mu = \frac{1}{2}$  величина  $t$  имеет вид:

$$t = (1 + \beta\theta)^{\frac{1}{2}}$$

а для остальных  $\mu \neq \frac{1}{2}$  величина  $t$  выражается следующим образом:

$$t = \left[ \frac{\cos(m\theta + \beta)}{\cos \beta} \right]^\mu \quad (\mu > \frac{1}{2}), \quad t = \left[ \frac{\operatorname{ch}(n\theta + \beta)}{\operatorname{ch} \beta} \right]^\mu \quad (\mu < \frac{1}{2})$$

На боковых гранях клина  $\theta = \pm \gamma$  напряжения должны отсутствовать, т. е.  $\sigma_\theta = \tau_{r\theta} = 0$ ; эти условия выполняются, так как  $\sigma_\theta$  и  $\tau_{r\theta}$  тождественно равны нулю везде.

Приравнивая компоненты главного вектора усилий, действующих в любом сечении клина цилиндрической поверхностью  $r = \text{const}$ , заданным компонентам силы  $P$  и  $Q$ , приложенной в вершине клина, получим равенства:

$$P = - \int_{-\gamma}^{+\gamma} \sigma_r \cos \theta r d\theta, \quad Q = - \int_{-\gamma}^{+\gamma} \sigma_r \sin \theta r d\theta \quad (2.4)$$

которые на основании (2.1) и выражений для  $t$  дают возможность найти параметры  $\alpha$  и  $\beta$ .

Частным случаем предыдущего при  $\gamma = \pi/2$ ,  $\beta = 0$  является задача о равновесии полуплоскости под действием сосредоточенной силы  $P$ , приложенной в точке прямолинейной границы и перпендикулярной к этой границе.

В этом случае для  $\mu = \frac{1}{2}$  величина  $t = 1$ , а для остальных  $\mu \neq \frac{1}{2}$  величины  $t$  представляются функциями

$$t = (\cos m\theta)^\mu \quad (\mu > \frac{1}{2}), \quad t = (\operatorname{ch} n\theta)^\mu \quad (\mu < \frac{1}{2})$$

Равенства (2.4) для  $\mu = \frac{1}{2}$  устанавливают, что  $\alpha = \frac{1}{4}$ , а для остальных  $\mu \neq \frac{1}{2}$  определяют  $\alpha$  в следующем виде:

$$\frac{1}{4\alpha} = \int_0^{\pi/2} (\cos m\theta)^\mu \cos \theta d\theta \quad (\mu > \frac{1}{2})$$

$$\frac{1}{4\alpha} = \int_0^{\pi/2} (\operatorname{ch} n\theta)^\mu \cos \theta d\theta \quad (\mu < \frac{1}{2})$$

Представляет интерес вид линий равных интенсивностей касательных напряжений  $S = \text{const}$ , которые вследствие соотношений (2.1) определяются уравнением

$$\frac{t(\theta)}{r} = \text{const}$$

Известная задача об упругом равновесии полуплоскости под действием сосредоточенной силы является частным случаем рассмотренной задачи, когда  $\mu = 1$ .

### § 3. Изгиб клина под действием пары сил, приложенной в вершине.

Рассмотрим изгиб плоского клина под действием только одной пары сил, приложенной в вершине, считая, что момент пары  $M$  задан (фиг. 2).

Будем искать точное решение этой задачи, предполагая, что компоненты напряжения имеют следующий вид:

$$\sigma_r = \sigma_r(r, \theta), \quad \sigma_\theta = 0, \quad \tau_{r\theta} = \tau_{r\theta}(r, \theta)$$

Уравнения равновесия могут быть теперь переписаны так:

$$r \frac{\partial \sigma_r}{\partial r} + \sigma_r + \frac{\partial \tau_{r\theta}}{\partial \theta} = 0, \quad r \frac{\partial \tau_{r\theta}}{\partial r} + 2\tau_{r\theta} = 0 \quad (3.1)$$

или в эквивалентной форме

$$\frac{\partial}{\partial r} (r\sigma_r) + \frac{\partial \tau_{r\theta}}{\partial \theta} = 0, \quad \frac{\partial}{\partial r} (r^2 \tau_{r\theta}) = 0$$

Они удовлетворяются, если принять, что  $r^2 \sigma_r$  и  $r^2 \tau_{r\theta}$  суть функции только от  $\theta$ .

Интенсивность касательных напряжений

$$S = \sqrt{\frac{1}{4} \sigma_r^2 + \tau_{r\theta}^2}$$

может быть, следовательно, представлена как произведение некоторой функции от  $\theta$  на  $r^2$ , или

$$S = \alpha M \frac{t(\theta)}{r^2} \quad (3.2)$$

Произвольный параметр  $\alpha$  попрежнему введен для удобства и дает возможность без уменьшения общности наложить на функцию  $t$  дополнительное условие  $t(0) = 1$ ; он будет впоследствии связан с углом  $\gamma$ .

Интенсивность деформации сдвига  $E = \sqrt{4\varepsilon_r^2 + \gamma_{r\theta}^2}$  выражается на основании степенного условия пластичности с упрочнением так:

$$E = \left( \frac{\alpha M}{K r^2} \right)^{\frac{1}{\mu}} g(\theta) \quad (3.3)$$

имея в виду, что вследствие степенного условия пластичности с упрочнением

$$t = g^\mu \quad (3.4)$$

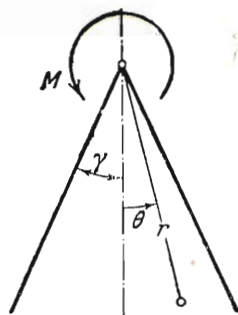
Теперь нетрудно видеть, что компоненты напряжения напишутся так:

$$\sigma_r = \frac{\alpha M}{r^2} 2t \cos \psi, \quad \tau_{r\theta} = \frac{\alpha M}{r^2} t \sin \psi \quad (3.5)$$

а компоненты деформации будут

$$\left. \begin{matrix} \varepsilon_r \\ \varepsilon_\theta \end{matrix} \right\} = \pm \left( \frac{\alpha M}{K r^2} \right)^{\frac{1}{\mu}} g \frac{\cos \psi}{2}, \quad \gamma_{r\theta} = \left( \frac{\alpha M}{K r^2} \right)^{\frac{1}{\mu}} g \sin \psi \quad (3.6)$$

причем  $\psi$  не зависит от  $r$  и является функцией от  $\theta$ , т. е.  $\psi = \psi(\theta)$



Фиг. 2

Граничные условия рассматриваемой задачи таковы: на оси симметрии компонента напряжения  $\sigma_r$  равна нулю, а на боковых граничных плоскостях компоненты напряжения  $\sigma_r$  и  $\tau_{r\theta}$  отсутствуют:

$$\sigma_r = 0, \quad \tau_{r\theta} < 0 \quad \text{при } \theta = 0; \quad \sigma_\theta = \tau_{r\theta} = 0 \quad \text{при } \theta = \pm \gamma \quad (3.7)$$

причем одно из этих условий выполняется автоматически, так как компонента напряжения  $\sigma_\theta$  тождественно равна нулю.

Условие равенства нулю главного вектора усилий, действующих в любом сечении клина цилиндрической поверхностью  $r = \text{const}$ :

$$r \int_{-\gamma}^{+\gamma} (\sigma_r \cos \theta - \tau_{r\theta} \sin \theta) d\theta = 0, \quad r \int_{-\gamma}^{+\gamma} (\sigma_r \sin \theta + \tau_{r\theta} \cos \theta) d\theta = 0$$

удовлетворяются автоматически. Действительно, на основании уравнений равновесия компонента напряжения

$$\sigma_r = \frac{\partial \tau_{r\theta}}{\partial \theta}$$

а потому написанные интегралы могут быть преобразованы к виду

$$\begin{aligned} \int_{-\gamma}^{+\gamma} \left( \frac{\partial \tau_{r\theta}}{\partial \theta} \cos \theta - \tau_{r\theta} \sin \theta \right) d\theta &= \int_{-\gamma}^{+\gamma} (\tau_{r\theta} \cos \theta)' d\theta = [\tau_{r\theta} \cos \theta]_{-\gamma}^{+\gamma} \\ \int_{-\gamma}^{+\gamma} \left( \frac{\partial \tau_{r\theta}}{\partial \theta} \sin \theta + \tau_{r\theta} \cos \theta \right) d\theta &= \int_{-\gamma}^{+\gamma} (\tau_{r\theta} \sin \theta)' d\theta = [\tau_{r\theta} \sin \theta]_{-\gamma}^{+\gamma} \end{aligned}$$

причем правые части равны нулю, так как при  $\theta = \pm \gamma$  компонента  $\tau_{r\theta} = 0$ .

Приравнявая главный момент усилий, действующих в любом сечении клина цилиндрической поверхностью  $r = \text{const}$ , заданному значению момента  $M$  в вершине, получим равенство

$$M = - \int_{-\gamma}^{+\gamma} \tau_{r\theta} r^2 d\theta \quad (3.8)$$

дающее на основании (3.5) связь между параметрами  $\alpha$  и  $\gamma$  такого вида:

$$\frac{1}{\alpha} = - \int_{-\gamma}^{+\gamma} t \sin \psi d\theta = f(\gamma)$$

Внося в уравнение равновесия (3.1) выражения (3.5), получим

$$\frac{d}{d\theta} (t \sin \psi) - 2t \cos \psi = 0 \quad (3.9)$$

а подставляя в дифференциальное уравнение совместности деформаций (1.3) выражения (3.6), будем иметь

$$\mu^2 \frac{d^2}{d\theta^2} (g \cos \psi) - 4(1 - \mu) g \cos \psi + 2\mu(2 - \mu) \frac{d}{d\theta} (g \sin \psi) = 0 \quad (3.10)$$

Система (3.9) и (3.10) для  $\mu \neq 1$  совместно с равенством  $t = g^\mu$  после введения обозначения

$$\Psi = \mu + (1 - \mu) \cos^2 \psi$$

Таблица 1

$\delta$	$\theta$	0.0	0.1	0.2	0.3	0.4	0.5	0.6	0.7
0.05	$-\psi$	1.57	0.62	0.30	0.07				
	$t$	1.00	1.46	1.86	2.22				
0.1	$-\psi$	1.57	0.85	0.48	0.21	0.00			
	$t$	1.00	1.21	1.50	1.79	2.06			
0.2	$-\psi$	1.57	1.10	0.73	0.43	0.19			
	$t$	1.00	1.07	1.22	1.41	1.62			
0.4	$-\psi$	1.57	1.32	1.04	0.77	0.50	0.26	0.04	
	$t$	1.00	1.01	1.04	1.10	1.21	1.35	1.51	
0.6	$-\psi$	1.57	1.40	1.22	1.03	0.82	0.57	0.34	0.12
	$t$	1.00	1.00	0.99	0.99	1.00	1.05	1.13	1.23

приводят к дифференциальному уравнению второго порядка

$$\operatorname{tg} \psi \frac{d^2 \psi}{d\theta^2} - \left( \frac{1-\mu}{\mu} + \frac{2}{\Psi} \right) \left( \frac{d\psi}{d\theta} \right)^2 + 2 \left( 1 + \frac{2}{\mu\Psi} \right) \frac{d\psi}{d\theta} - \frac{4}{\mu\Psi} = 0 \quad (3.11)$$

и к дифференциальному уравнению первого порядка

$$\frac{d \ln t}{d\theta} + \operatorname{ctg} \psi \left( \frac{d\psi}{d\theta} - 2 \right) = 0 \quad (3.12)$$

Заметим, что вместо (3.11) можно получить нелинейное дифференциальное уравнение первого порядка, если принять  $\psi$  за независимое переменное, а  $d\theta/d\psi = \Theta$  за искомую функцию. Имеем

$$\frac{\operatorname{tg} \psi}{\Theta} \frac{d\Theta}{d\psi} + \left( \frac{1-\mu}{\mu} + \frac{2}{\Psi} \right) - 2 \left( 1 + \frac{2}{\mu\Psi} \right) \Theta + \frac{4}{\mu\Psi} \Theta^2 = 0$$

Определение напряженного состояния пластического клина состоит в решении полученной системы дифференциальных уравнений при соответствующих граничных условиях. Последние на основании (3.5) и (3.7) могут быть представлены в виде

$$\psi = -\frac{\pi}{2}, \quad t = 1 \quad \text{при } \theta = 0; \quad \psi = 0 \quad \text{при } \theta = \gamma$$

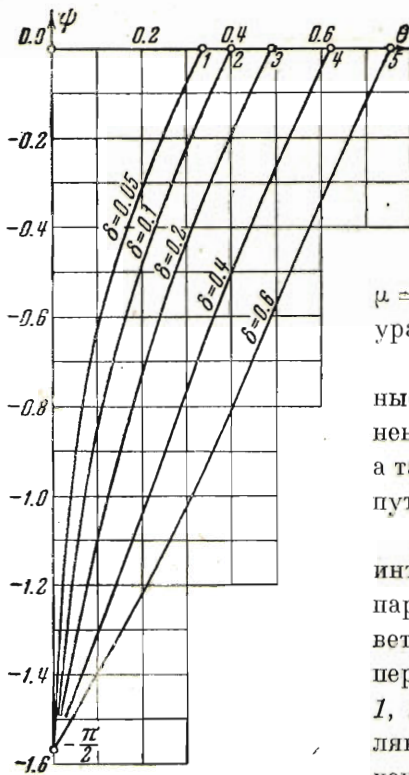
причем, как это следует из (3.11), производная

$$\frac{d\psi}{d\theta} = 2 \quad \text{при } \theta = \gamma$$

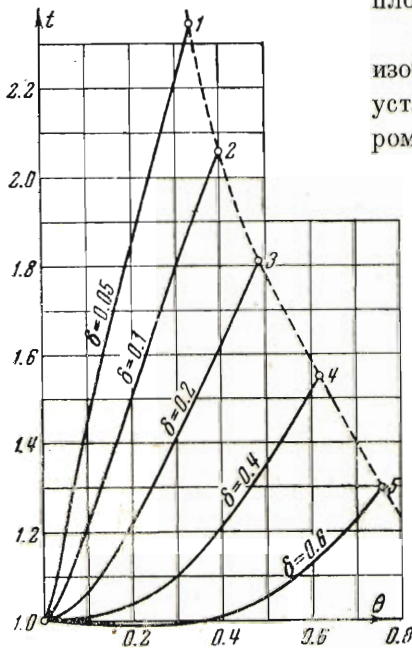
Сначала находится решение  $\psi = \psi(\theta, \delta)$  дифференциального уравнения (3.11), удовлетворяющее условиям  $\psi = -\pi/2$ ,  $d\psi/d\theta = 1/\delta$  при  $\theta = 0$ , а далее строится решение  $t = t(\theta, \delta)$  дифференциального уравнения (3.12) с условием  $t = 1$  при  $\theta = 0$ . Эти решения зависят от параметра

$$\delta = \left[ \frac{d\theta}{d\psi} \right]_{\theta=0}$$

Последний может быть выражен через угол  $\gamma$  на основании оставшегося условия  $\psi = 0$  при  $\theta = \gamma$ . Имеем  $\psi(\gamma, \delta) = 0$ .



Фиг. 3



Фиг. 4

Что касается до коэффициента  $\alpha$ , входящего в выражения компонент напряжения, то он, как уже указывалось, связан с углом  $\gamma$  так:

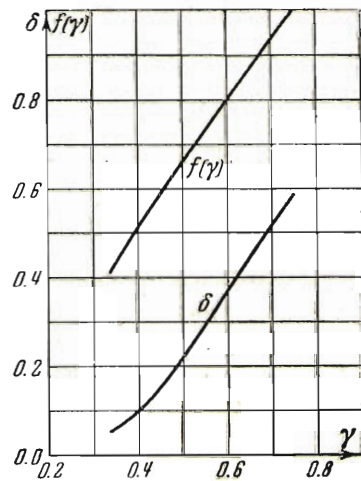
$$\frac{1}{\alpha} = f(\gamma)$$

Выше в табл. 1 приведены результаты численного решения задачи для  $\mu = 1/3$ . Оно состоит в интегрировании уравнений методом конечных разностей.

Табл. 1. дает величины  $\psi$ , полученные численным интегрированием уравнения (3.11) для  $\delta = 0.05, 0.1, 0.2, 0.4, 0.6$ , а также величины  $t$ , найденные аналогичным путем из уравнения (3.12).

На фиг. 3 и 4. изображены полученные интегральные кривые для тех же значений параметра  $\delta$ . Прямая  $\psi = 0$  на фиг. 3 соответствует граничной плоскости  $\theta = \gamma$ . Она пересекает интегральные кривые в точках 1, 2, 3, 4, 5, абсциссы которых определяют углы  $\gamma$ , отвечающие выбранным значениям  $\delta$ . Пунктирная кривая, нанесенная на фиг. 4, также изображает граничную плоскость  $\theta = \gamma$ .

Одна кривая, представленная на фиг. 5, изображает график функции  $f(\gamma)$ , а другая устанавливает зависимость между параметром  $\delta$  и углом  $\gamma$ .



Фиг. 5



#### § 4. Изгиб клина под действием равномерно распределенной нагрузки.

Рассмотрим изгиб плоского клина под действием равномерно распределенной нагрузки  $p$ , приложенной вдоль одной из его граней (фиг. 6).

При решении этой задачи естественно предположить, что компоненты напряжений  $\sigma_r$ ,  $\sigma_\theta$ ,  $\tau_{r\theta}$  и деформации  $\varepsilon_r$ ,  $\varepsilon_\theta$ ,  $\gamma_{r\theta}$  не зависят от  $r$  и суть функции только от  $\theta$ .

Уравнения равновесия (1.1) упрощаются и принимают вид:

$$\frac{d\tau_{r\theta}}{d\theta} + \sigma_r - \sigma_\theta = 0, \quad \frac{d\sigma_\theta}{d\theta} + 2\tau_{r\theta} = 0 \quad (4.1)$$

а уравнение совместности (1.3) будет:

$$\frac{d^2\varepsilon_r}{d\theta^2} = \frac{d\gamma_{r\theta}}{d\theta}, \quad \text{или} \quad \frac{d\varepsilon_r}{d\theta} = \gamma_{r\theta} + \text{const} \quad (4.2)$$

Вместо интенсивности касательных напряжений  $S$ , интенсивность деформаций сдвига  $E$  и среднего нормального напряжения  $\sigma$  удобно ввести безразмерные величины  $t$ ,  $g$  и  $s$ , определенные так

$$S = \alpha p t(\theta), \quad E = \left(\frac{\alpha p}{K}\right)^{\frac{1}{\mu}} g(\theta), \quad \sigma = \alpha p s(\theta) - \frac{p}{2} \quad (4.3)$$

имея в виду, что на основании степенного условия пластичности с упрочнением

$$t = g^\mu \quad (4.4)$$

Произвольный параметр  $\alpha$ , как и ранее, введен для удобства и позволяет наложить на функцию  $t$  дополнительное условие  $t(0) = 1$ ; он будет в дальнейшем выражен через угол  $\gamma$ .

Теперь можно переписать компоненты напряжения в виде:

$$\left. \begin{matrix} \sigma_r \\ \sigma_\theta \end{matrix} \right\} = \alpha p (s \pm t \cos \psi) - \frac{p}{2}, \quad \tau_{r\theta} = \alpha p t \sin \psi \quad (4.5)$$

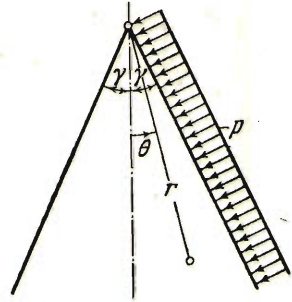
а компоненты деформации представить так:

$$\left. \begin{matrix} \varepsilon_r \\ \varepsilon_\theta \end{matrix} \right\} = \pm \left(\frac{\alpha p}{K}\right)^{\frac{1}{\mu}} g \frac{\cos \psi}{2}, \quad \gamma_{r\theta} = \left(\frac{\alpha p}{K}\right)^{\frac{1}{\mu}} g \sin \psi \quad (4.6)$$

Заметим, что наложение равномерного растягивающего напряжения  $\sigma_r = \sigma_\theta = p/2$  превращает рассматриваемую задачу в кососимметричную относительно вертикальной оси  $\theta = 0$ . Следовательно, величины  $\sigma_r + p/2$  и  $\sigma_\theta + p/2$  вместе с  $\psi$  и  $s$  суть нечетные функции от  $\theta$ , а величина  $\tau_{r\theta}$  вместе с  $t$  есть четная функция от того же  $\theta$ .

Отсюда ясно, что достаточно рассмотреть лишь правую половину клина, а граничные условия для нее можно представить следующим образом:

$$\sigma_r = \sigma_\theta = -\frac{p}{2} \quad \text{при} \quad \theta = 0; \quad \sigma_\theta = -p, \quad \tau_{r\theta} = 0 \quad \text{при} \quad \theta = \gamma \quad (4.7)$$



Фиг. 6

Внося в дифференциальные уравнения равновесия (4.1) выражения (4.5), после преобразований получим

$$\frac{d}{d\theta} (t \sin \psi) + 2t \cos \psi = 0 \quad (4.8)$$

$$\frac{ds}{d\theta} - \frac{d}{d\theta} (t \cos \psi) + 2t \sin \psi = 0$$

а подставляя в уравнение совместности деформаций (4.2) выражения (4.6), будем иметь

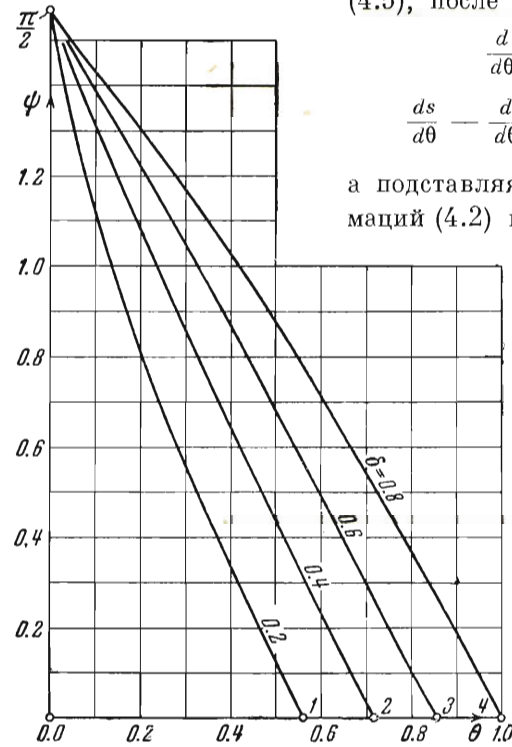
$$\frac{d}{d\theta} (g \cos \psi) = 2g \sin \psi + C \quad (4.9)$$

Система (4.8) и (4.9) для  $\mu = 1$  интегрируются в замкнутом виде. Учитывая граничные условия (4.7), найдем известные из теории упругости компоненты напряжения

$$\left. \begin{aligned} \sigma_r \\ \sigma_\theta \end{aligned} \right\} = \frac{p}{2} \frac{2\theta \cos 2\gamma \pm \sin 2\theta}{\sin 2\gamma - 2\gamma \cos 2\gamma} = \frac{p}{2}$$

$$\tau_{r\theta} = \frac{p}{2} \frac{\cos 2\theta - \cos 2\gamma}{\sin 2\gamma - 2\gamma \cos 2\gamma} \quad (4.10)$$

Система (4.8) и (4.9) для  $\mu \neq 1$  совместно с равенством



Фиг. 7

с  $t = g^\mu$  после введения обозначения

$$\Psi = \mu + (1 - \mu) \sin^2 \psi$$

приводят к дифференциальному уравнению второго порядка

$$\operatorname{tg} \psi \frac{d^2 \psi}{d\theta^2} - \left( \frac{1 - \mu}{\mu} + \frac{2}{\Psi} \right) \left( \frac{d\psi}{d\theta} \right)^2 - 2 \left( \frac{2 - \mu}{\mu} + \frac{2}{\Psi} \right) \frac{d\psi}{d\theta} - \frac{4}{\mu} = 0 \quad (4.11)$$

и к дифференциальным уравнениям первого порядка

$$\frac{ds}{d\theta} + \frac{t}{\sin \psi} \left( \frac{d\psi}{d\theta} + 2 \right) = 0, \quad \frac{d \ln t}{d\theta} + \operatorname{ctg} \psi \left( \frac{d\psi}{d\theta} + 2 \right) = 0 \quad (4.12)$$

Заметим, что вместо (4.11) может быть получено нелинейное дифференциальное уравнение первого порядка, если принять  $\psi$  за независимое переменное, а  $d\theta/d\psi = -\Theta$  за искомую функцию. Имеем

$$\frac{\operatorname{tg} \psi}{\Theta} \frac{d\Theta}{d\psi} + \left( \frac{1 - \mu}{\mu} + \frac{2}{\Psi} \right) - 2 \left( \frac{2 - \mu}{\mu} + \frac{2}{\Psi} \right) \Theta + \frac{4}{\mu} \Theta^2 = 0$$

Определение напряженного состояния клина состоит в решении найденной системы уравнений при соответствующих граничных условиях. Последние вследствие (4.5) и (4.7) могут быть написаны так:

$$\psi = \frac{\pi}{2}, \quad s = 0, \quad t = 1 \quad \text{при} \quad \theta = 0; \quad \psi = 0, \quad t - s = \frac{1}{2\alpha} \quad \text{при} \quad \theta = \gamma$$

Таблица 2

$\delta$	$\theta$	0.0	0.1	0.2	0.3	0.4	0.5	0.6	0.7	0.8	0.9	1.0
0.2	$\psi$	1.57	1.12	0.81	0.56	0.34	0.12					
	$t$	1.00	1.06	1.14	1.22	1.28	1.34					
	$s$	0.90	0.26	0.41	0.51	0.58	0.64					
0.4	$\psi$	1.57	1.33	1.09	0.87	0.65	0.44	0.24	0.03			
	$t$	1.00	1.01	1.02	1.04	1.05	1.07	1.08	1.10			
	$s$	0.00	0.05	0.09	0.12	0.14	0.16	0.17	0.19			
0.6	$\psi$	1.57	1.40	1.23	1.06	0.87	0.68	0.49	0.29	0.10		
	$t$	1.00	1.00	0.99	0.98	0.97	0.96	0.94	0.93	0.91		
	$-s$	0.00	0.04	0.06	0.09	0.11	0.13	0.14	0.16	0.17		
0.8	$\psi$	1.57	1.45	1.32	1.18	1.03	0.88	0.72	0.55	0.37	0.19	0.00
	$t$	1.00	0.99	0.98	0.96	0.94	0.90	0.87	0.83	0.80	0.76	0.72
	$-s$	0.00	0.08	0.15	0.21	0.27	0.32	0.37	0.41	0.45	0.49	0.53

причем, как это ясно из (4.11), производная

$$\frac{d\psi}{d\theta} = -2 \quad \text{при} \quad \theta = \pm \gamma$$

Сначала строится решение  $\psi = \psi(\theta, \delta)$  уравнения (4.11), удовлетворяющее условиям  $\psi = \pi/2$ ,  $d\psi/d\theta = -1/\delta$ , а далее находятся решения  $s = s(\theta, \delta)$ ,  $t = t(\theta, \delta)$  уравнений (4.12) с учетом условий  $s = 0$ ,  $t = 1$  при  $\theta = 0$ . Указанные решения зависят от параметра

$$\delta = - \left[ \frac{d\theta}{d\psi} \right]_{\theta=0}$$

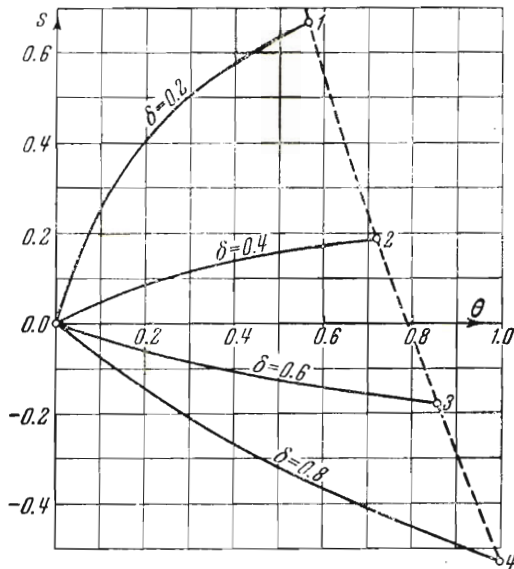
Этот параметр  $\delta$ , а также коэффициент  $\alpha$ , входящий в выражения компонент напряжения, могут быть связаны с углом  $\gamma$  при помощи условий  $\psi = 0$ ,  $t - s = 1/2\alpha$  при  $\theta = \gamma$ . Имеем

$$\psi(\gamma, \delta) = 0$$

$$\frac{1}{2\alpha} = t(\gamma, \delta) - s(\gamma, \delta)$$

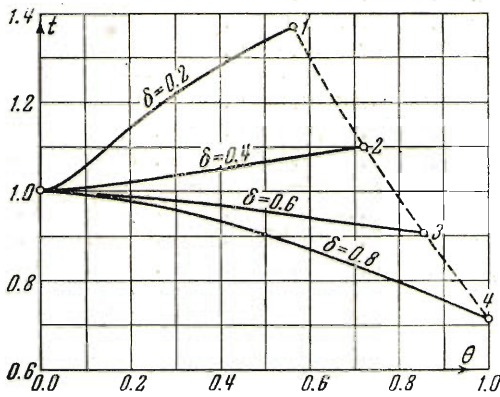
Выше в табл. 2 приведены результаты численного решения разобранной задачи для  $\mu = 1/3$ . Оно состоит в приближенном интегрировании уравнений методом конечных разностей.

Табл. 2 содержит величины  $\psi$ , вычисленные при помощи численного интегрирования дифференциального уравнения (4.11) для значений параметра  $\delta = 0,2, 0,4, 0,6, 0,8$ , а также величины  $s$  и  $t$ , полученные путем численного интегрирования дифференциальных уравнений (4.12).

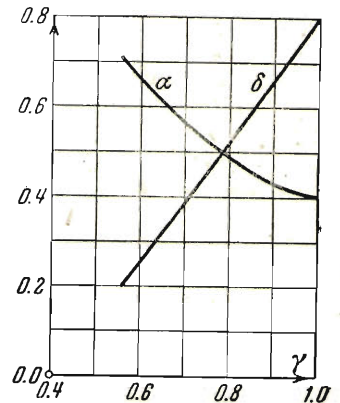


Фиг. 8

На фиг. 7—9 изображены найденные интегральные кривые для указанных значений параметра  $\delta$ . Прямая  $\psi = 0$  на фиг. 7 соответствует граничной плоскости  $\theta = \gamma$ . Она пересекает интегральные кривые в точках 1, 2, 3, 4; абсциссы этих точек определяют углы  $\gamma$ , соответствующие выбранным значениям параметра. Пунктирные кривые на фиг. 8 и 9 также отвечают граничной плоскости  $\theta = \gamma$ .

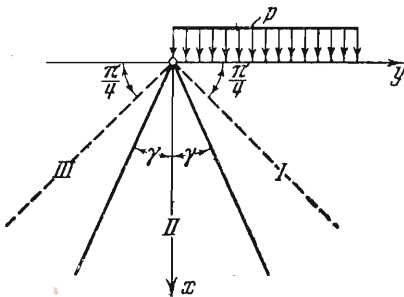


Фиг. 9



Фиг. 10

Кривые, построенные на фиг. 10, дают зависимость между параметром  $\alpha$  и углом  $\gamma$ , а также между параметром  $\delta$  и тем же углом  $\gamma$ .



Фиг. 11

**§ 5. Упруго-пластическое равновесие полуплоскости.** Предыдущая задача о равновесии клина, у которого одна из граней находится под действием равномерно распределенного давления, будет упруго-пластической, если пластическое состояние определять условием о постоянстве интенсивности касательных напряжений. Однако эта задача имеет простое решение, которое мы приведем для случая, когда клин является полуплоскостью.

Рассмотрим, следовательно, распределение напряжений в полуплоскости  $x \geq 0$ , у которой вдоль положительной полуоси  $y$  приложена равномерно распределенная нагрузка  $\sigma_x = -p$ . Наряду с координатами  $x, y$  будем также пользоваться координатами  $r, \theta$ , начало которых совпадает с точкой 0, а радиус  $\theta = 0$  совпадает с осью  $x$ . Угол  $\gamma$  имеет здесь иной смысл (фиг. 11), чем ранее.

Пока нагрузка  $p$  невелика, вся полуплоскость находится в упругом состоянии, а напряженное состояние определяется хорошо известными из теории упругости формулами

$$\left. \begin{array}{l} \sigma_r \\ \sigma_\theta \end{array} \right\} = -\frac{p}{2\pi} (2\theta \mp \sin 2\theta) - \frac{p}{2}, \quad \tau_{r\theta} = \frac{p}{2\pi} (1 + \cos 2\theta) \quad (5.1)$$

Отсюда ясно, что интенсивность касательных напряжений

$$S = \sqrt{\frac{1}{4}(\sigma_r - \sigma_\theta)^2 + \tau_{r\theta}^2} = \frac{p}{\pi} |\cos \theta|$$

достигает максимума при  $\theta = 0$ . Поэтому впервые пластическое состояние возникает вдоль радиуса  $\theta = 0$ , когда  $p = k\pi$ .

При достаточно большой величине нагрузки  $p$ , а именно при  $p \geq k\pi$ , образуется пластическая зона, заполняющая некоторый сектор  $-\gamma \leq \theta \leq +\gamma$ , в то время как примыкающие к нему секторы  $-\pi/2 \leq \theta < -\gamma$  и  $\gamma < \theta \leq \pi/2$  остаются упругими.

Заметим, что наложение равномерного растягивающего напряжения  $\sigma_r = \sigma_\theta = p/2$  не изменяет интенсивности касательных напряжений  $S$ , но превращает нашу задачу в кососимметричную относительно вертикальной оси  $\theta = 0$ . Следовательно, величины  $\sigma_r + p/2$  и  $\sigma_\theta + p/2$  суть нечетные функции от  $\theta$ , а величины  $\tau_{r\theta}$  и  $S$  четные функции от того же  $\theta$ . Отсюда ясно, что расположение упругих зон симметрично относительно вертикальной оси  $\theta = 0$ , а при решении задачи можно ограничиться рассмотрением лишь правой половины полуплоскости.

Распределение напряжений в правой упругой зоне будем определять на основании хорошо известных из теории упругости формул, содержащих четыре произвольные постоянные  $A, B, C, D$ :

$$\left. \begin{matrix} \sigma_r \\ \sigma_\theta \end{matrix} \right\} = A - D2\theta \pm (B \sin 2\theta + C \cos 2\theta), \quad \tau_{r\theta} = D + B \cos 2\theta - C \sin 2\theta$$

а распределение напряжений в пластической зоне будем искать, исходя из частного решения уравнений пластичности в полярных координатах, имеющего одну произвольную постоянную  $H$ :

$$\sigma_r = \sigma_\theta = -k(2\theta + H), \quad \tau_{r\theta} = k$$

Пять произвольных постоянных и неизвестный угол  $\gamma$  находятся из граничных данных

$$\sigma_r = \sigma_\theta = -\frac{p}{2} \quad \text{при } \theta = 0; \quad \sigma_\theta = -p, \quad \tau_{r\theta} = 0 \quad \text{при } \theta = \frac{\pi}{2}$$

и условий непрерывности всех компонент напряжения на границе между правой упругой зоной и пластической зоной

$$\sigma_r^e = \sigma_r^p, \quad \sigma_\theta^e = \sigma_\theta^p, \quad \tau_{r\theta}^e = \tau_{r\theta}^p \quad \text{при } \theta = \gamma$$

Рассмотрим сначала секторы  $I$  и  $III$ , в которых материал находится в упругом состоянии. После определения произвольных постоянных в секторе  $I$  компоненты напряжения принимают вид:

$$\left. \begin{matrix} \sigma_r \\ \sigma_\theta \end{matrix} \right\} = k \frac{\sin 2\gamma + (\pi - 2\theta) \cos 2\gamma \pm \sin 2(\theta - \gamma)}{1 + \cos 2\gamma} - p$$

$$\tau_{r\theta} = k \frac{\cos 2(\theta - \gamma) + \cos 2\gamma}{1 + \cos 2\gamma} \quad (5.2)$$

Отсюда на основании равенств

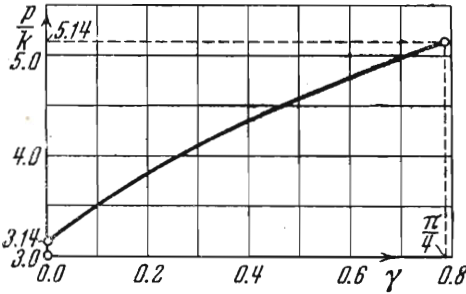
$$\sigma_r^{III}(\theta) = -p - \sigma_r^I(-\theta), \quad \sigma_\theta^{III}(\theta) = -p - \sigma_\theta^I(-\theta)$$

$$\tau_{r\theta}^{III}(\theta) = \tau_{r\theta}^I(-\theta)$$

легко получить компоненты напряжения в секторе III в виде (5.3)

$$\left. \begin{array}{l} \sigma_r \\ \sigma_\theta \end{array} \right\} = k \frac{-\sin 2\gamma - (\pi + 2\theta) \cos 2\gamma \pm \sin 2(\theta + \gamma)}{1 + \cos 2\gamma}, \quad \tau_{r\theta} = k \frac{\cos 2(\theta + \gamma) + \cos 2\gamma}{1 + \cos 2\gamma}$$

Обратимся теперь к сектору II, в котором материал перешел в пластическое состояние. Определяя произвольные постоянные, имеем



Фиг. 12

$$\left. \begin{array}{l} \sigma_r = \sigma_\theta = -2k\theta - \frac{p}{2} \\ \tau_{r\theta} = k \end{array} \right\} \quad (5.4)$$

Входящий в эти формулы угол  $\gamma$  определяет положение прямолинейных границ упругой и пластической зон. Между  $\gamma$  и  $p$  имеет место зависимость

$$p = 2k \frac{2\gamma + \pi \cos 2\gamma + \sin 2\gamma}{1 + \cos 2\gamma}$$

данная на фиг. 12 графически.

При дальнейшем увеличении нагрузки  $p$  пластический сектор расширяется, а угол  $\gamma$  увеличивается; при  $p = k(\pi + 2)$  угол  $\gamma = \pi/4$ .

Остановимся подробнее на предельном состоянии, когда  $p = k(\pi + 2)$ , а распределение напряжений определяется предыдущими выражениями при  $\gamma = \pi/4$ . При этом удобно вернуться к прямолинейным прямоугольным координатам  $x, y$ , применяя известные формулы преобразования

$$\left. \begin{array}{l} \sigma_x \\ \sigma_y \end{array} \right\} = \frac{1}{2} (\sigma_r + \sigma_\theta) \pm \frac{1}{2} (\sigma_r - \sigma_\theta) \cos 2\theta \mp \tau_{r\theta} \sin 2\theta$$

$$\tau_{xy} = \frac{1}{2} (\sigma_r - \sigma_\theta) \sin 2\theta + \tau_{r\theta} \cos 2\theta$$

Окончательно в секторе I получим

$$\sigma_x = -p, \quad \sigma_y = 2k - p, \quad \tau_{xy} = 0$$

а в секторе III будем иметь

$$\sigma_x = 0, \quad \sigma_y = -2k, \quad \tau_{xy} = 0$$

Следовательно, в этих секторах имеют место равномерные напряженные состояния, причем интенсивность касательных напряжений равна:

$$S = \sqrt{\frac{1}{4} (\sigma_x - \sigma_y)^2 + \tau_{xy}^2} = k$$

Таким образом, при  $p = k(\pi + 2)$  угол  $\gamma = \pi/4$ , а материал в обоих боковых секторах I и III по всей площади сразу переходит в пластическое состояние, т. е. вся полуплоскость становится пластической.

Поступила в редакцию  
30 IV 1959

Институт механики  
Академии Наук СССР

#### ЛИТЕРАТУРА

1. Соколовский В. В. Некоторые задачи теории пластичности со степенным упрочнением материала. ПММ. 1949. Т. XIII. Вып. 6.